

دراسة تأثير محددات (بارامترات) الشبكة والحمل على حسابات نوعية التوتر.

د. جورج أسيير

□ ملخص □

تعمل طريقة حساب مؤشر نوعية التوتر بالرسوج الرياضي لشبكة التغذية الكهربائية. أما نوعية التوتر في شبكات تغذية المصانع والمنشآت فتعلق بالأحمال، وكذلك بالمقاومة الفعلية σ والفاعلة X للشبكة.

تم في هذا المقالة إيجاد الحالات التي يمكن استخدام العلاقات الدقيقة فيها والعلاقات التقريبية اللازمة لحساب نوعية التوتر وقد تبين أن XB تلعب دوراً كبيراً في الحساب فعند زيادة هذه القيمة يزداد الضياع في التوتر وكذلك بالنسبة للمقدار $G/B = \alpha$ فكلما زادت قيمته كلما زاد الضياع في التوتر.

تم الحصول على نتائج هامة وهي أنه عند قيمة $XB \leq 10^{-3}$ فإن تأثير α على قيمة الضياع في التوتر معدوم تقريرياً.

الدكتور جورج أسيير أستاذ مساعد في كلية الهندسة الميكانيكية والكهربائية بجامعة تشرين - اللاذقية - سوريا.

لأجل مجموعة n من مستهلكي الطاقة الكهربائية تجمع المسائرات الفردية لكل مستهلك مع بعضها بعضاً بحيث تصبح كما يلي:

$$y = \sum^n g - \sum^n b = G - jB \quad (3)$$

حيث: G و B مجموع الناقليات والسماحيات للأعمال.

نحسب تيار الحمل بالوحدات النسبية:

$$I = \frac{U}{\sqrt{3}[Z + Y^{-1}]} = \frac{U \cdot Y}{\sqrt{3}(1 + ZY)} \quad (4)$$

نحسب هبوط التوتر U ΔU كما يلي:

$$\Delta U = \sqrt{3}Z \frac{I}{U} = \frac{1}{A} \\ [rG + xB + (rG + xB)^2 + J(xG - rB)] \quad (5)$$

حيث: $A = (1 + rG + xB)^2 + (xG - rB)^2$

يعتبر إيجاد القيمة الوسطى والتشتت لهبوط

التوترتين تطابقان القيمة الوسطى Bc Gc والتشتت Dg Dg الناقليات الفعلية والسماحيات الرديبة عملية صعبة، لذلك نفترض أن مجال تغير التوتر ΔU ليس كبيراً عند ذلك نقوم بتبسيط المسألة ونحوها إلى علاقة خطية [3] نحصل بعدها على ما يلي:

$$\Delta U \approx \varphi_1(Gc, Bc) - Gc \frac{\partial \varphi_1}{\partial G} - Bc \frac{\partial \varphi_1}{\partial B} + J \left[\varphi_2(Gc, Bc) - Gc \frac{\partial \varphi_2}{\partial G} - Bc \frac{\partial \varphi_2}{\partial B} \right] + \\ + G \frac{\partial \varphi_1}{\partial G} + B \frac{\partial \varphi_1}{\partial B} + J \left[\frac{\partial \varphi_2}{\partial G} + B \frac{\partial \varphi_2}{\partial B} \right] \quad (6)$$

$\alpha = G/B$ و $\gamma = r/x$ وعندها نحصل على العلاقة التالية

بعد عملية الاشتقاق:

تتعلق نوعية التوتر في شبكات المصانع والمنشآت بالأعمال الكهربائية للمستهلك، وكذلك بالمقاومة الفعلية Z وبالفاعلية X للشبكة لذلك عند حساب التأثير المتبادل لتلك الأعمال تستخدم دارة حسابية كما في الشكل (1) وهذه الدارة عبارة عن مصدر لتوليد الطاقة الكهربائية توفره الخطي ثابت U .

عند ذلك تكون ممانعة الشبكة كما يلي:

$$z = r + jx \quad (1)$$

تفادي هذه الشبكة بمجموعة (n) من مستهلكي الطاقة الكهربائية وهذه الأعمال ذات منحني بيانى فردى للمسيرة:

$$y = g - jb \quad (2)$$

حيث: $-g$ - الناقلية الفعلية للحمل.
 $-b$ - السماحية الردية للحمل.

ولتتحديد تستخدم فقط القيمة الوسطى $Mathematical expectation$ للتشتت $Variance$ لهبوط التوتر الناتج عن مقاومة الشبكة، ولكن كل النتائج التي يتم الحصول عليها يمكن تطبيقها على جميع العوامل التي تؤثر على نوعية التوتر.

وهنا $\varphi_1(Gc, Bc)$ و $\varphi_2(Gc, Bc)$ φ_1 φ_2 القيم الحقيقة والوهمية للعلاقة (5) أما قيم الاشتقاق فنؤخذ لأجل $B = Bc$ $G = Gc$ ولتسهيل نرمز

$$\begin{aligned}\frac{\partial \varphi_1}{\partial G} &= C_1 = \frac{1}{C_2} \left\{ \begin{aligned} &X[1 + 2XB_c(\gamma^2 + 1)][1 + 2XB_c(\alpha\gamma + 1) + C^2B_c^2(\alpha^2\gamma^2 + \alpha^2 + \gamma^2 + 1)] \\ &- 2C[XB_c(\alpha\gamma + 1) + X^2B_c^2(\alpha^2\gamma^2 + \alpha^2 + 1)][1 + XB_c(\gamma^2 + 1)] \end{aligned} \right\} \\ \frac{\partial \varphi_1}{\partial B} &= C_2 = \frac{1}{C_2} \left\{ \begin{aligned} &X[\gamma + 2XB_c(\gamma^2 + 1)][1 + 2XB_c(\alpha\gamma + 1) + X^2B_c^2(\alpha^2\gamma^2 + \alpha^2 + \gamma^2 + 1)] \\ &- 2C[XB_c(\alpha\gamma + 1) + 2X(\alpha^2\gamma^2 + \alpha^2 + 1)][\alpha + XB_c(\gamma^2 + 1)] \end{aligned} \right\} \\ \frac{\partial \varphi_2}{\partial B} &= C_3 = -\frac{1}{C^2} \left\{ \begin{aligned} &X\gamma[1 + 2XB_c(\alpha\gamma + 1)][1 + 2XB_c^2(\alpha^2\gamma^2 + \alpha^2 + \gamma^2 + 1)] \\ &- X[1 + XB_c(\alpha^2 + 1)][XB_c(\alpha - \gamma)][XB_c(\alpha - \gamma)] \end{aligned} \right\} \\ \frac{\partial \varphi_2}{\partial B} &= C_4 = -\frac{1}{C^2} \left\{ \begin{aligned} &X[1 + 2XB_c(\alpha\gamma + 1) + X^2B_c^2(\alpha^2\gamma^2 + \alpha^2 + \gamma^2 + 1)] \\ &- 2X[\alpha + XB_c(\gamma^2 + 1)][XB_c(\alpha - \gamma)][XB_c(\alpha - \gamma)] \end{aligned} \right\} \\ C &= [1 + XB_c(\alpha\gamma + 1)]^2 + [XB_c(\alpha - \gamma)^2] \end{aligned}$$

و للحصول على القيمة الوسطى لهبوط التوتر يكفي
قيمتهمما الوسطية، وبعد التحويل نحصل على
العلاقة التالية:

وللحصول على القيمة الوسطى لهبوط التوتر يكفي
فقط أن نضع في العلاقة الخطية المبسطة (6) بدلاً من

$$\Delta U_c \cong \varphi_1(G_c, B_c) + J\varphi_2(G_c, B_c) \cong \frac{1}{C} XB_c [(\alpha\gamma + 1) + XB_c(\alpha\gamma + 1)^2 + B_c(\alpha - \gamma)^2 + J(\alpha - \gamma)]. \quad (7)$$

من الضروري عند حساب التشتت إدخال
عامل الترابط K_{GB} أي عامل الترابط بين السماحات
الفعلية والردية عندئذ نحصل على العلاقة التالية:

$$D[\Delta U] = \frac{1}{C^2} (C_1^2 D_B + C_2^2 D_G + 2C_1 C_2 K_{GB} + JC_3^2 D_B + C_4^2 D_G + 2C_3 C_4 K_{GB}). \quad (8)$$

$0 \leq \gamma \leq 1$ والخطوة الحسابية من الصفر وحتى
الواحد.
 $0 \leq \alpha \leq 1$ والخطوة الحسابية من الصفر وحتى
الواحد.

بعد إجراء الحسابات حصلنا على مجموعة
منحنيات رسماها الحاسوب، وقد طابت الرسم
البيانى شكل (2) حيث Xbc ثابتة لكل مجموعة.
يرينا تخليل النتائج أن المؤثر الأكبر على
هبوط التوتر ΔU_c هو القيمة XB_c وكلما زادت
 XB_c ترتفع قيمة ΔU_c شكل (2) أما تأثير α على
هبوط التوتر فهو موضح على الشكل (2) ويمكن أن

تعطى المعادلة 7 و 8 حلّاً دقيقاً، وهذا الحل
يسمح لنا بتحليل تأثير جميع العناصر على نوعية
التوتر بالإضافة إلى معرفة مجال استخدام العلاقات
المبسطة والعلاقات المعقّدة.

حساب عامل القيمة الوسطى لهبوط التوتر
تستعمل العلاقة التالية:

$$|\Delta U_c| = \sqrt{\{R[\Delta U_c]\}^2 + \{J[\Delta U_c]\}^2}. \quad (9)$$

جرى حساب العلاقة المعقّدة (8) على
الحاسوب من نوع IBM حيث أعطيت القيم التالية
للبرنامج:

العمودية في الرسم (2) على XB نحصل على مجموعة جديدة من المنحنيات كما في الشكل (3) ومن هذه المنحنيات يمكن إيجاد علاقة تحليلية للقيمة الوسطى هبوط التوتر باستخدام طريقة المربعات الصغيرة:

$$|M| = XB_c \left[9.1 + 3.7\alpha^2 + \gamma^2 (4.35 + 0.5\alpha^2) \right] \cdot 10^{-2} \quad (10)$$

نعرض في العلاقات المستخلصة سابقاً القيمتان $B_c = 0$ و $D_B = 0$ بدلًا من B_c و D_B عندئذ نحصل على ما يلي:

$$D_\phi B = \frac{r^2}{X^2} D_G + D_B \quad (14)$$

$$B_{C\phi} = \frac{r}{x} G_c + B_c$$

وقد أوضحت الحسابات أن استعمال السماحية الوهمية ترفع المتطلبات المرحومة من نوعية التوتر. من الشكل (4) نستطيع وضع علاقة الخطأ النسبي.

$$\delta_\phi = \left(\frac{|\Delta M_\phi|}{|\Delta M|} - 1 \right) 100\% \quad (15)$$

لحساب التشتت بالعلاقة (8) استخدمنا الحاسوب، وقد افترضنا تقدير تأثير السماحية باستعمال عناصر محول القوى ذي التوتر 6.3/20 ك. ف.

إن القيمة الحسابية العظمى لتبدل التيار I تحدد من العلاقة المشهورة من الرياضيات статистيكية [3].

$$\Delta I = \beta \sqrt{DI}, \quad (16)$$

حيث DI : تشتت التيار، β : عامل استاتيكي. إن التغير في التيار يؤدي إلى حدوث تذبذب في التوتر بمقدار:

$$\delta V = \Delta I \frac{Xn}{Un} 100 \quad (17)$$

حيث: Xn - المفاعة الاسمية للمحول.

نستنتج من الحسابات أنه عندما تكون قيمة $Xbc \leq 10^{-3}$ فإن تأثير α على قيمة ΔU يمكن إهماله ونلاحظ من الرسم (2) أن γ في الحال من الصفر وحتى 0.2 لا تؤثر على قيمة ΔU ولكن عندما تكون قيمة $\gamma > 0.2$ يبدأ المنحنى بالصعود بشكل ملحوظ. وإذا قمنا بتقسيم الإحداثيات

حيث الخطأ النسبي لا يتجاوز 7% بالمقارنة مع استعمال العلاقة المعقدة، أما عندما تقوم بتحطيط وحساب نوعية التوتر في شبكات 6-20 ك. ف. فإن تلك الحسابات تم فقط بالمنحنى البياني للاستطاعة الردية أي أن $\alpha = \gamma = 0$ ومنها عند ذلك نحسب هبوط التوتر U بالعلاقة البسطة التالية:

$$\Delta \tilde{U} = \frac{X}{1 + XB_c} \left(B_c + \frac{B - B_c}{1 + XB_c} \right) \quad (11)$$

تطابق الدوائر المبينة في الرسوم 2 و 3 قيمة العلاقة (11) لذلك فإن الخطأ الحاصل من جراء استخدام العلاقة (11) سيكون الفرق بين الخط الأفقي المنقط والخط الحقيقي الخبر، أما الخطأ النسبي فيحسب كما يلي:

$$\tilde{\delta} \equiv \left(\frac{|\Delta \tilde{U}|}{|\Delta U|} - 1 \right) 100\% \quad (12)$$

وبحال استعمال العلاقة (12) تحدده قيمة الخطأ المسموح به مثال: عند حساب الأحمال يؤخذ الخطأ النسبي حتى $\pm 10\%$ وفي بعض المراجع العالمية وبخاصة الروسية منها تم ادخال المقاومة الفعلية والسماحية الفعلية في الحسابات وكذلك موضوع يسمى "الأحمال الوهمية" [7]، وبالنسبة لحالتنا أدخل مفهوم السماحية الوهمية.

$$b_\phi(t) = \frac{r}{x} G(t) + B(t) \quad (13)$$

الفعالية والسماحية الردية K_{GB} وهذه القيم تتغير كما يلي:

- γ من الصفر وحتى الواحد.
- α من الصفر وحتى الواحد.

بالنسبة لعامل الارتباط K_{GB} فيعطي بالقيم التالية ($1 - 0.5, 0.5, 1$) والتائج الحسائية لتشتت هبوط التوتر مبينة في الرسم التوضيحي البياني شكل (5).

من الشكل (5) يمكن استنتاج التائج التالية:

قيمة $D(\Delta U)$ عملياً لا تتعلق بالقيمة α وإن إشارة عامل الارتباط K_{GB} السالبة أو الموجبة لا تؤثر على قيمة $D(\Delta U)$ ولكن رفع قيمته يؤدي إلى زيادة $D(\Delta U)$ أما بالنسبة للعلاقة بين γ و $D(\Delta U)$ فإنها تناسب طرداً أي عند رفع قيمة γ تزداد قيمة $D(\Delta U)$.

التائج التي تم التوصل إليها تستخدم لإيجاد المجال الذي تطبق فيه العلاقات المعقدة والعلاقات المبسطة لحساب نوعية التوتر، فمن معرفة قيمة α و γ نستطيع معرفة العلاقات التي يمكن استخدامها.

- التوتر الاسمي.

- ΔI

من هنا نستنتج أن تشتت التيار:

$$DI = \frac{\delta V^2 U_n^2}{\beta^2 X_n^2} 10^{-4} \quad (18)$$

ويكون تشتت الناقلية لفعالية والسماحية

[2] كما يلي:

$$DG = \frac{3}{U^2} \cos^2 \varphi DI \quad (19)$$

$$DB = \frac{3}{U^2} \sin^2 \varphi DI \quad (20)$$

إن أكبر قيمة للتذبذب هي 2.5% كما في [6] وحسب الدراسات التي أجريناها في هذا المجال افترحناأخذ $\sqrt{3} \approx \beta$ أما عامل الاستطاعة فيمكن أخذه مساوياً لقيمة 0.8، عند ذلك تعطي العلاقات السابقة نتائج تقريرية لتشتت. مثال لأجل محول قوي استطاعته 1600 ك. ف. آ. وتتره 20/6.3 ك.

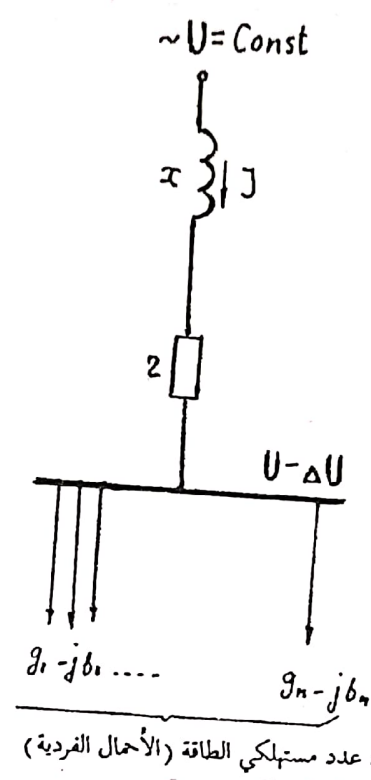
ف. فإن حسابات التشتت أعطت النتائج التالية:

$$D_B = 3.1 \cdot 10^{-3} \text{ Sm}^2 \quad \text{تشتت السماحة:}$$

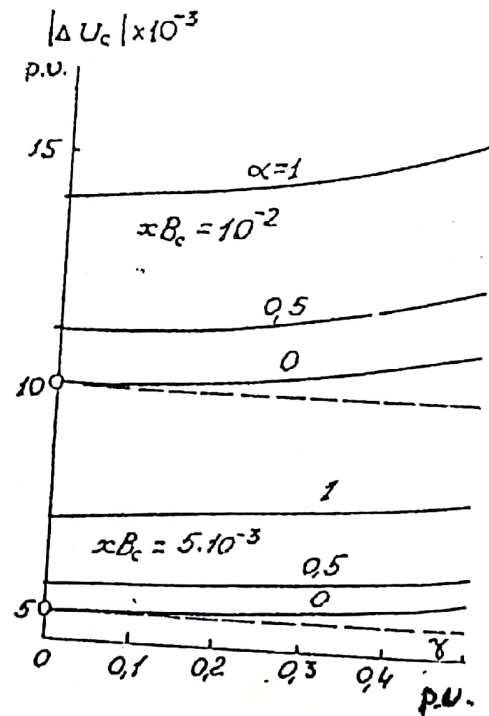
$$D_G = 6.1 \cdot 10^{-3} \text{ Sm}^2 \quad \text{تشتت الناقلية}$$

الفعالية:

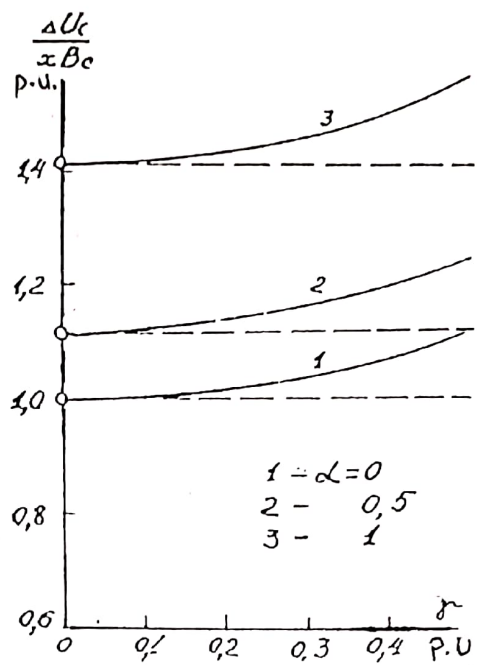
فالقيم المغيرة في حساب تشتت هبوط التوتر هي α و γ وكذلك عامل الارتباط بين الناقلية



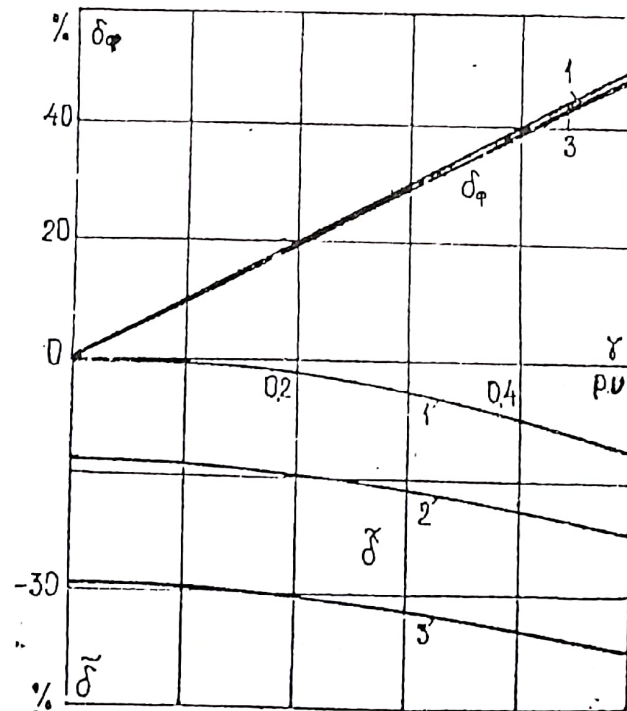
شكل (1) دارة حسابية لتحديد نوعية التوتر



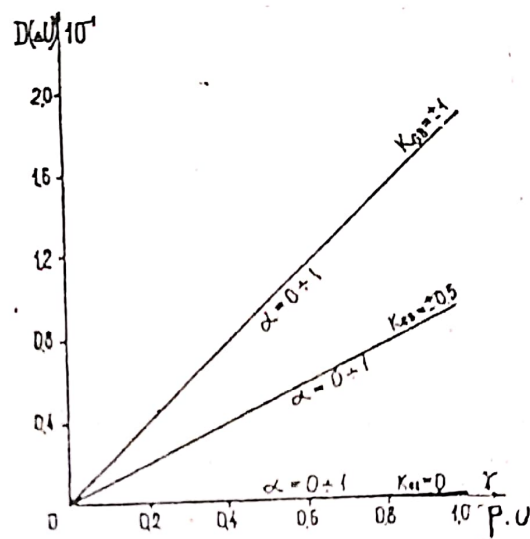
شكل (2) علاقة γ بالقيمة الوسطى لهبوط التوتر ΔUc



شكل (3) علاقة γ بالقيمة النسبية لبطوت التوتر



شكل (4) الخطأ النسبي $\bar{\delta}$ و δ للحسابات بالأحمال الوهمية



شكل (5) علاقة α بمتضمن هبوط التردد، قيم α تتراوح بين 0 حتى 1

□ ABSTRACT □

The method of accurate calculation (as guide for the specific voltage) is related to the mathematical model chosen for the electrical-power net work and to the reactive resistance r and resistance permissible X for net work.

In this paper we try to find the accurate relations required for the specific-voltage-guides-calculations, by consumer-line-load-effect, and compare it with a simple required relation. We prove that these parameters (XB_c) are the main effects on the voltage reduction. This reduction increases as those parameters increase, similarly the field that used for the specific voltage calculation using the simple and accurate relations for each case.

We reached an important result which is at the amount $XB_c \leq 10^{-3}$ the influence of α at the amount of loss $|\Delta U_c|$ is almost nothing

المراجع

1. Sinchugov, F.I Raschet Nadezhnosti skhem electicheskikh Soedineniy (calculation of electrical circuitry reliability), Energia Publishers, 1971 Moscow.
2. الحساب المبسط لنوعية التوتر مجلة النقل والطاقة السوفيتية عدد 2 عام 1989، صفحة 85-93 الدكتور في العلوم التقنية دميتريسا إيلينا نيكالايفا.
3. Ventsel, E.S., Teoriya veroyatnostey - theory of probabilities - Moscow, Nauka Publishers. 1969.
4. Matematicheskie zadachi electroenergetiki-Mathematical problems in power engineering- edit by V.A. Venikemy, Moscow, Vysshaya shkola-publishers, 1970.
5. Melnikov N.A., Electricheskie seti i sistemy - electrical Networks and systems - Moscow, -energia-publishers, 1989.
6. Urmilov A.A., osnovi electrosnabzheniya bromishlinnekh bredpriti. -M.: inergia, 1976.
7. Koialov G.M., kagdan A.i., kolvalev i.N., kurenni i.g., osnovi postroenia bromishlinnekh elektritcheskikh sete. -M.: inergia, 1978.